

05.2; 07

(C) 1992

О ВЛИЯНИИ ДАВЛЕНИЯ И ТЕМПЕРАТУРЫ
НА ЭКСИТОННЫЕ ЛИНИИ КРИСТАЛЛА $TlGaS_2$

Г.И. А б у т а л ы б о в, Н.А. Р а г и м о в а,
С.З. Д ж а ф а р о в а, Э.И. М е х т и е в

Среди кристаллов со слоистой, а также цепочечной структурой особое место следует отвести кристаллам $TlGaS_2$, обладающим весьма важными и уникальными особенностями. К их числу относятся: смещение максимума экситонного пика поглощения с ростом температуры в сторону больших энергий [1]; парамагнитные свойства, связанные с собственными дефектами решетки, где роль парамагнитных центров играют двухвалентные ионы таллия [2]; сверхчувствительность фотолюминесценции к влиянию внешнего магнитного поля [3]; промежуточное положение кристаллической структуры $TlGaS_2$ между слоистыми и цепочечными кристаллами [4] и ряд других особенностей, не свойственных остальным соединениям A^3B^6 и $A^3B^3C_2^6$.

Существование в литературе довольно противоречивых интерпретаций [5-13] имеющихся данных требует получения дополнительного экспериментального материала, чтобы дать однозначное исчерпывающее объяснение накопившимся результатам.

В настоящей работе приводятся экспериментальные исследования спектров экситонного поглощения и фотолюминесценции монокристаллов $TlGaS_2$ в широких интервалах давления 0-20 кбар и температур 1.8-190 К. Монокристаллы $TlGaS_2$ выращены модифицированным методом Бриджмена-Стокбаргера. Рентгеновские измерения дают два варианта для симметрии моноклинной решетки $TlGaS_2$ - C_2^4 или C^4 [14, 15]. Величины барического коэффициента кристаллов определялись по влиянию всесторонней деформации на спектры ультраузких линий фотолюминесценции $\lambda_1 = 5957.2 \text{ \AA}$ и $\lambda_2 = 5955.6 \text{ \AA}$.

Измерения осуществлялись следующим образом. Лазером ЛГН-502 в камере высокого гидростатического давления возбуждалась люминесценция кристалла $TlGaS_2$, которая после монохроматора ДФС-24 регистрировалась ФЭУ-79 с автоматической записью. Возбуждающее излучение $\lambda = 4765 \text{ \AA}$ направлялось нормально к плоскости пластины монокристалла, а возбужденная люминесценция регистрировалась в противоположном направлении от той же плоскости. Оптическая камера высокого давления калибрована по сдвигу R_1 - линии люминесценции рубина [16-18].

На рис. 1 представлена температурная зависимость энергетического положения экситонного пика поглощения $E_{\text{ЭКС}}(T)$ кристаллов $TlGaS_2$. В отличие от других полупроводников A^3B^6 и $A^3B^3C_2^6$,

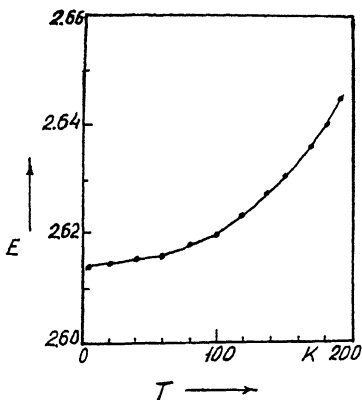


Рис. 1. Температурная зависимость энергетического положения экситонного пика поглощения $E_{\text{экс}}$ (Т) кристаллов $TlGaS_2$.

как видно из рисунка, рост температуры сопровождается смещением экситонной линии в сторону коротких волн, иначе говоря, рост температуры обусловливает увеличение ширины запрещенной зоны (E_g).

Электрон-фононное взаимодействие не в состоянии объяснить подобное поведение E_g с температурой, поскольку полученные нами результаты об изменении энергии связи экситона с температурой свидетельствуют о том, что масса электронов больше массы дырок, по крайней мере в $TlGaS_2$ и для других слоистых полупроводников.

На рис. 2 представлен спектр люминесценции λ_1 и λ_2 линий $TlGaS_2$ и зависимость сдвига линии от гидростатического давления 0–20 кбар (вставка) при 1.8 К. Экспериментальные результаты показали, что фотолюминесценция в $TlGaS_2$ наблюдалась только в том случае, когда энергия возбуждающего кванта была равна или превышала энергию образования прямого экситона, т.е. наблюдаемая линия является рекомбинационным излучением „связанных“ экситонов [19]. Отметим, что температурный коэффициент в интервале температур 1.8–190 К одинаков для свободных экситонов в спектрах поглощения и „связанных“ экситонов в спектрах фотолюминесценции (все попытки наблюдения линии, обусловленной излучательной рекомбинацией свободных экситонов оказались безуспешными).

Малая полуширина (~3 Å), форма и высокая интенсивность позволяла нам точно определить изменение энергетического положения линии в зависимости от величины объемного сжатия до 20 кбар в интервале температур 2–15 К.

Зависимость энергетического положения линии фотолюминесценции (вставка на рис. 2) от величины гидродавления линейна. При

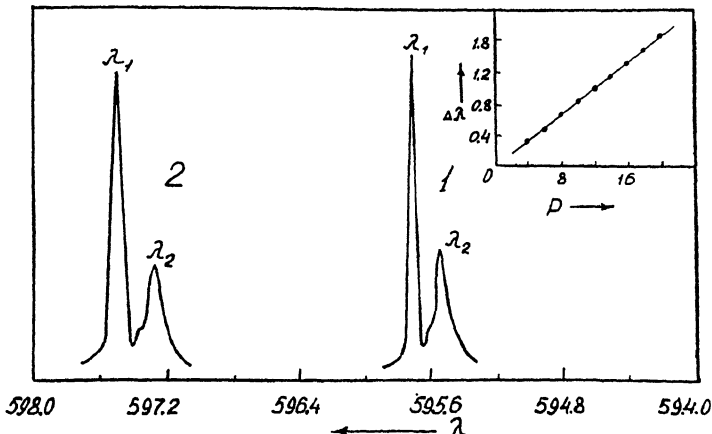


Рис. 2. Спектр люминесценции $\lambda_1 = 595.72$ нм и $\lambda_2 = 595.56$ нм линий $TlGaS_2$ при 1.8 К: 1 - 0 бар, 2 - 20 кбар. Вставка: зависимость сдвига линии λ_1 от гидродавления.

объемном сжатии линия смещается в сторону меньших энергий, т.е. уменьшение размеров образца (параметров решетки) $TlGaS_2$ приводит к уменьшению энергии экситонной зоны. Величина барического коэффициента кристалла $TlGaS_2$ равна 8.9×10^{-2} нм/кбар (для R_1 - рубина - 3.71×10^{-2} нм/кбар [16]).

Следовательно, нагрев кристалла, приводящий к увеличению размеров образца, будет приводить к сдвигу энергетического положения экситона в коротковолновую сторону. Таким образом, комплексное исследование температурой и барической зависимости Е однозначно показывают, что изменение ширины запрещенной зоны с температурой связано не с электрон-фононным взаимодействием, а с изменением параметров решетки.

В заключение отметим следующее:

1. Точность определения давления с учетом чувствительности, полуширины и формы линий по линии $TlGaS_2$ на порядок выше, чем по R_1 -линии рубина.

2. Интенсивность люминесценции $TlGaS_2$ и рубина одного порядка.

3. Линии излучения $TlGaS_2$ расположены в удобной для регистрации области спектра, возбуждаются коротковолновыми линиями аргон-ионного лазера.

4. Сдвиг линий излучения $TlGaS_2$ линеен по давлению с точностью не меньшей, чем сдвиг линий рубина.

Все это позволяет использовать энергетические сдвиги ультракороткой линии $TlGaS_2$ ($\lambda_1 = 5957.2$ Å) для определения величины всестороннего сжатия при низких температурах.

Список литературы

- [1] Абуталыбов Г.И., Салаев Э.Ю. // ФТТ. 1986. Т. 28. В. 7. С. 2201-2203.
- [2] Dzafarova S.Z., Raghimova N.A., Abutalybov G.I. // Phys. Stat. Sol. (a). 1991. V. 126. P. 501-509.
- [3] Салаев Э.Ю., Абуталыбов Г.И., Агекян В.Ф. // ДАН СССР. 1986. Т. 287. В. 2. С. 334-337.
- [4] Абуталыбов Г.И., Агекян В.Ф., Лихо-лит И.Л., Мастеров В.Ф., Салаев Э.Ю., Штельмах К.Ф. // Письма в ЖЭТФ. 1987. Т. 45. В. 9. С. 434-436.
- [5] Fivias R.C. // Nuovo Cimento. 1969. V. 63 B. N 1. P. 10-28.
- [6] Schmid Ph. // Nuovo Cimento. 1974. V. 21. P. 258-270.
- [7] Schmid Ph., Voitschovsky J.P. // Phys. Stat. Sol. 1974. V. 65. N 3. P. 1341-1345.
- [8] Antonioli G., Bianchi D., Emiliani V., Podolini P. // Nuovo Cimento. 1979. V. 54B. N 1. P. 211-227.
- [9] Fan H.Y. // Phys. Rev. 1951. V. 82. N 6. P. 900-905.
- [10] Бродин М.С., Блонский И.В., Кроучук А.С., Ницович Б.М., Франив А.В. // ЖЭТФ. 1982. Т. 83. В. 3(9). С. 1052-1057.
- [11] Бродин М.С., Блонский И.В., Кроучук А.С., Ницович Б.М., Франив А.В. // ФТТ. 1982. Т. 24. В. 3. С. 681-684.
- [12] Brodin M.S., Blonski I.V., Nitsovich B.M., Krochuk A.S., Franiw A.V. // Sol. St. Comm. 1982. V. 44. N 2. P. 181-185.
- [13] Nitsovich B.M., Pestryakov B.M. // Phys. St. Sol. 1983. V. 115. N 2. P. 87-89.
- [14] Müller D., Poltmann E.E., Hahn H.E. // Zs. Naturforsch. 1974. V. 29B. N 1-2.
- [15] Isaacs I., Hofkins R.H. // J. Crys. Growth. 1975. V. 29. N 1. P. 121-123.
- [16] Шанов М.Ф., Субботин С.И. // ПТЭ. 1977. Т. 4. Т. 4. С. 246-248.
- [17] Forman R.A., Piermarini G.I., Barnett I.D., Block S. // Science. 1972. V. 176. P. 274-276.
- [18] Barnett I.D., Block S., Piermarini G.I. // Rev. Scient. Instrum. 1973. V. 44. P. 1-5.

А б у т а л ы б о в Г.И., А ли е в А.А., А г е к я н В.Ф.,
С т е п а н о в Ю.А., С а л а е в Э.Ю. // ФТП. 1985.
Т. 19. В. 2. С. 351-353.

Поступило в Редакцию
10 декабря 1991 г.
В окончательной редакции
17 апреля 1992 г.